

УДК 541.64:539.26

© 1990 г. А. В. Ребров, А. Н. Озерин, Д. И. Свергун,  
Л. П. Боброва, Н. Ф. Бакеев

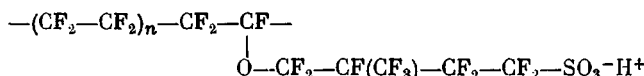
**ИЗУЧЕНИЕ АГРЕГАЦИИ МАКРОМОЛЕКУЛ  
ПЕРФТОРСУЛЬФИРОВАННОГО ИОНОМЕРА В РАСТВОРЕ  
МЕТОДОМ МАЛОУГЛОВОГО РЕНТГЕНОВСКОГО  
РАССЕЯНИЯ**

Методом малоуглового рентгеновского рассеяния изучена агрегация макромолекул перфторсульфирированного иономера при переходе от разбавленных растворов в ДМФА к пленкам, отлитым на поверхность. Исследуемые растворы являются высокодисперсными коллоидными растворами полимерных частиц – бислоев плоской формы. Расчитаны их геометрические размеры. Исследована статистика и дана структурная схема взаимного упорядочения частиц в растворе.

Известно, что растворы макроионов, образованных синтетическими полимерными макромолекулами [1], подобно растворам макроионов другой природы (ионным мицеллам ПАВ, протеинам, энзимам, полинуклеотидам и т. п.) [2] вследствие сильного взаимного электростатического взаимодействия между макроионами являются локально упорядоченными системами. Изучение структуры и взаимного упорядочения макроионов синтетических ВМС в растворах имеет большое значение как с точки зрения дальнейшего развития теории растворов ВМС, так и с практической стороны, поскольку стадия формирования из раствора или геля соответствующих полимеров широко представлена в различных современных технологических процессах.

Цель данной работы – изучение особенности агрегации макромолекул мембранообразующего материала широкого назначения – перфторсульфирированного иономера (ПСИ) в процессе перехода от разбавленных растворов к пленкам, отлитым на поверхность. Для количественного описания процесса агрегации макромолекул ПСИ в растворах использовали метод малоуглового рентгеновского рассеяния, который является информативным при изучении подобных систем [3–6].

В работе исследовали ПСИ на основе статистического сополимера тетрафторэтилена с перфторвиниловым эфиrom следующей химической структуры:



Эквивалентная масса элементарного звена сополимера составляла 1185, что соответствует  $n=7,4$ . Изучали ряд растворов ПСИ в ДМФА и пленку, полученную поливом раствора на стеклянную поверхность с последующим испарением растворителя. Концентрация с ПСИ в растворах составляла 0,75 (P1); 1,5 (P2); 3 (P3); 6 (P4); 9 (P5) и 18 об.% (P6).

Рентгенографические измерения выполняли при комнатной температуре на малоугловой камере КРМ-1 с щелевой коллимацией (фильтрованное Си-излучение). Внесение коллимационных поправок и расчет численных структурных характеристик из кривых рассеяния проводили с использованием комплекса вычислительных программ «Сирена», разработанных в Институте кристаллографии АН СССР. Угловой диапазон измерения рассеяния в шкале  $s$  ( $s=4\pi \sin \theta/\lambda$  – абсолютная величина вектора рассеяния,  $2\theta$  – угол дифракции,  $\lambda$  – длина волны излучения) составлял  $0,007-0,354 \text{ \AA}^{-1}$ .

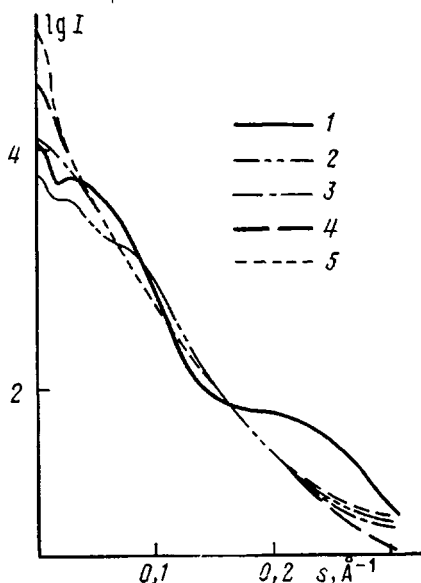


Рис. 1

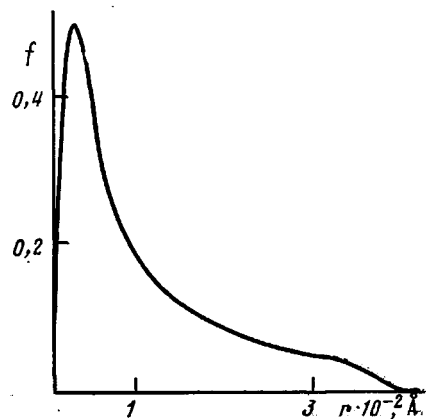


Рис. 2

Рис. 1. Кривые рассеяния образцов пленки (1), Р6 (2), Р5 (3) и Р3 (4). Кривая 5 — экстраполяция на бесконечное разбавление

Рис. 2. Вид функции  $f(r)$  для кривой 5 из рис. 1

На рис. 1 представлены кривые интенсивности малоуглового рентгеновского рассеяния для некоторых исследуемых растворов и пленки после внесения инструментальных поправок и нормировки. Из вида кривых на рис. 1 следует, что растворы ПСИ являются гетерогенными частично упорядоченными системами. Упорядочение в данных растворах проявляется в типичных интерференционных эффектах (появление интерференционных максимумов, изменение их интенсивности и углового положения, а также интенсивности рассеяния в нулевой угол в зависимости от концентрации), влияние которых на кривую рассеяния уменьшается по мере разбавления раствора.

Для дальнейшего изложения в соответствии с общепринятым для дисперсных систем подходом примем в качестве рабочей такую структурную модель, в которой рассеивающие неоднородности представлены как некоторые частицы, вкрапленные в матрицу — растворитель. Конкретная трактовка того, что представляет собой частица в нашем случае, будет дана ниже.

Исходные экспериментальные кривые на рис. 1 заключают в себе информацию как о самой рассеивающей гетерогенной частице («внутричастичное» упорядочение), так и о взаимном упорядочении таких частиц («межчастичное» упорядочение). Чтобы охарактеризовать саму рассеивающую частицу, межчастичные интерференционные эффекты устранили экстраполяцией экспериментальных кривых малоуглового рентгеновского рассеяния на бесконечное разбавление. Кривая 5 на рис. 1 получена подобной экстраполяцией. Отметим, что экспериментальная кривая рассеяния раствора Р1 ( $c=0,75\%$ ) практически совпадала с кривой 5.

Ввиду отсутствия в настоящее время априорной информации о возможном строении исследуемых в данной работе гетерогенных рассеивающих частиц дальнейшая интерпретация результатов была ограничена случаем однородных частиц простых форм. Для подобных частиц заключения об их форме и размерах могут быть сделаны из анализа так называемой функции распределения по расстояниям частицы [6, с. 41].

$$p(r) = r^2 \gamma(r),$$

где  $r$  — координата прямого пространства,  $\gamma(r)$  — корреляционная функция Дебая [7] для частицы.

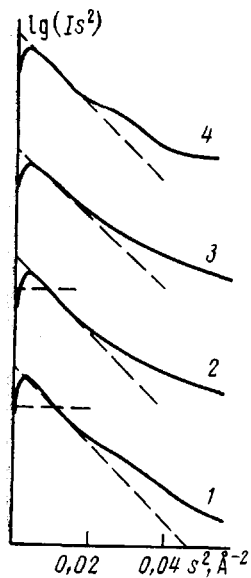


Рис. 3

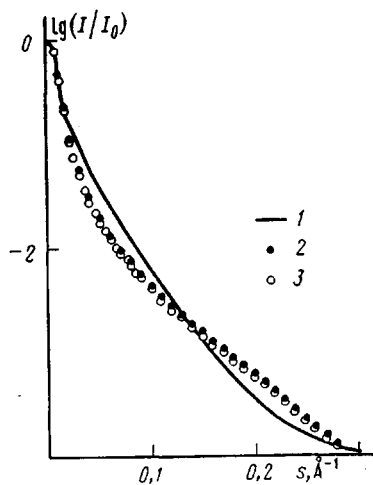


Рис. 4

Рис. 3. Кривые рассеяния образцов Р4 (1), Р3 (2), Р2 (3) и Р1 (4), перестроенные для выделения фактора рассеяния толщиной сплюснутых частиц

Рис. 4. Моделирование кривой рассеяния бесконечно разбавленной системы (1) рассеянием на тонком диске (2) и плоской призме (3)

В нашем случае более представительной оказалась функция

$$f(r) = p(r)/r = r\gamma(r),$$

вид которой для кривой 5 рис. 1 показан на рис. 2. Такой вид функции  $f(r)$  характерен [6, с. 77] для рассеивающих частиц в форме сильно анизометричных сплюснутых образований. Положение максимума  $f(r)$  позволяет оценить толщину частицы ( $T=22 \text{ \AA}$ ), а из условия  $f(r)=0$  можно найти, что ширина (наибольший размер) частицы равна  $470 \text{ \AA}$ .

Указанный вывод о форме рассеивающих частиц, полученный на основе расчета корреляционной функции Дебая для частицы, подтверждается анализом вида экспериментальных кривых рассеяния в приведенных координатах Гинье  $\ln(s^2 I(s)) - s^2$  (рис. 3), где легко выделяются участки линейной зависимости. Известно [6, с. 57, 79], что наличие таких участков свидетельствует о сильно сплюснутой форме частиц. Оцененный из наклона зависимостей рис. 3 радиус инерции толщины частиц соответствует  $T=29 \text{ \AA}$ , что близко к значению  $T$ , определенному из функции  $f(r)$ .

Моделирование экспериментальной кривой рассеяния бесконечно разбавленной системы рассеянием на однородных сильно сплюснутых частицах простой формы (тонкий диск и плоская призма) показало удовлетворительное соответствие расчета и исходной кривой. Интегральные

Таблица 1

Моделирование формы частицы по экстраполированной на  $c=0$  кривой малоуглового рассеяния

Модель	$R_g, \text{ \AA}$	$I(0)$ , имп/с	$V \cdot 10^{-6}, \text{ \AA}^3$	$S \cdot 10^{-5}, \text{ \AA}^2$	$l, \text{ \AA}$	$T, \text{ \AA}$
Эксперимент	450	$8,3 \cdot 10^4$	1,55	1,05	470	30
Диск	149	—	2,08	1,38	420	30
Плоская призма	145	—	1,88	1,25	450	30

Примечание.  $R_g$  — радиус инерции частицы;  $I(0)$  — интенсивность рассеяния в нулевой угол;  $V$  — объем;  $S$  — площадь;  $T$  — толщина;  $l$  — наибольший размер частицы,  $T=22 \text{ \AA}$  из  $f(r)$  и  $29 \text{ \AA}$  из приближения Гинье.

параметры частиц, отвечающие наилучшему согласию с экспериментом, сведены в табл. 1. Вид модельных кривых показан на рис. 4.

После того, как охарактеризовали индивидуальную рассеивающую частицу, проанализируем взаимное упорядочение частиц в исследуемых растворах. Известно [8, с. 232], что общее выражение для интенсивности рассеяния рентгеновских лучей объектом, структурные единицы (обобщенные мотивы) которого обладают различной ориентацией, имеет вид

$$I(s) = N \{ |F_m(s)|^2 + |F_m(s)|^2 [Z(s) - 1] \}, \quad (1)$$

где  $I(s)$  – интенсивность рассеяния;  $F_m(s)$  – структурная амплитуда мотива;  $Z(s)$  – интерференционная функция;  $N$  – число мотивов в рассеивающем объеме. Формула (1) справедлива, если рассеивающий объем велик, а усреднение проводится по всем ориентациям мотивов.

Применение формулы (1) для анализа интенсивности в случае произвольной ориентации мотивов – трудная задача. В частном случае одинаковой ориентации рассеивающих мотивов в прямом пространстве  $\overline{|F_m(s)|^2} = |F_m(s)|^2$ , и соотношение (1) упрощается

$$I(s) = N |F_m(s)|^2 Z(s) \quad (2)$$

Если же мотивы обладают сферической симметрией, то условие одинаковой ориентации выполняется автоматически и

$$I(s) = N |F_m(s)|^2 Z(s) \quad (3)$$

Фурье-трансформация  $Z(s)$  из соотношения (3) приводит к функции радиального распределения центров мотивов (соотношение Цернике – Принса).

Так как число  $N$  рассеивающих единиц в объекте неизвестно, регистрируемую интенсивность необходимо нормировать расчетным путем на рассеяние одной такой единицей и перейти от  $I(s)$  к  $I_n(s) = I(s)/N$ .

Полагаем, что исследуемые растворы, представляющие собой разбавленную систему анизометрических частиц, не могут быть сведены в точном смысле ни к случаю одинаковой ориентации мотивов, ни к случаю их сферической симметрии. Тем не менее, если ограничить анализ экспериментальных кривых рассеяния  $I(s)$  не очень большими значениями  $s$  по сравнению с  $s_0 = 2\pi/R_g = 0,04 \text{ \AA}^{-1}$ , где  $R_g = 150 \text{ \AA}$  из табл. 1, то можно ожидать, что  $\overline{|F_m|^2} \approx |F_m|^2$  и применение соотношения (3) для анализа в качестве первого приближения может быть оправдано. В случае бесконечно разбавленной системы  $Z(s) = 1$  и

$$I_n(s) = |F_m(s)|^2 \quad (4)$$

Для интерферирующей системы на «хвосте» кривой функция интенсивности перестает осциллировать,  $Z(s) \rightarrow 1$  и  $I_n(s) \rightarrow I_n^0(s)$ . Таким образом, если удастся совместить экспериментальные кривые и  $I_n^0(s)$  так, чтобы их «хвосты» совпадали, то интерференционную функцию  $Z(s)$  можно будет легко найти

$$Z(s) = I_n(s) / |F_m(s)|^2 = I_n(s) / I_n^0(s) \quad (5)$$

Действительно, как видно из рис. 1, экспериментальные кривые рассеяния и кривая рассеяния бесконечно разбавленной системы могут быть достаточно хорошо совмещены в диапазоне  $s = 0,14 - 0,22 \text{ \AA}^{-1}$ . Вид интерференционных функций  $Z(s)$ , рассчитанных по соотношению (5), показан на рис. 5.

Для количественной трактовки полученных результатов воспользуемся формализмом, развитым в работе [8, с. 203] для анализа интерференционных функций второго рода. Основными характеристиками рассеивающей системы, которые могут быть получены из анализа  $Z(s)$ , являются среднее (брэгговское) расстояние между центрами частиц  $d = 2\pi/s_m$ , где  $s_m$  – положение максимума  $Z(s)$  в шкале  $s$ ; среднее расстояние между центрами частиц для паракристаллической модели  $d_n = 1,22d$ ; параметр разупорядочения  $(\Delta/d) = (1/\pi)\sqrt{\Delta s/s_m}$ , где  $\Delta$  – среднеквадратичное откло-

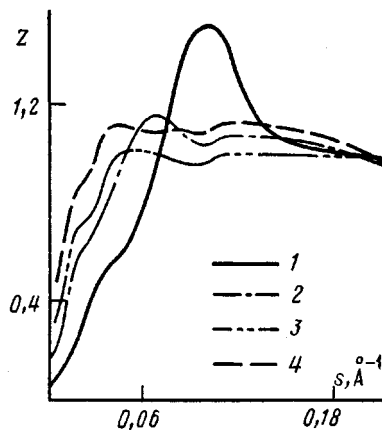


Рис. 5

Рис. 5. Интерференционные функции  $Z(s)$  для образцов Р6 (1), Р5 (2), Р4 (3) и Р3 (4)

Рис. 6. Схема строения раствора ПСИ в ДМФА (образец Р6)

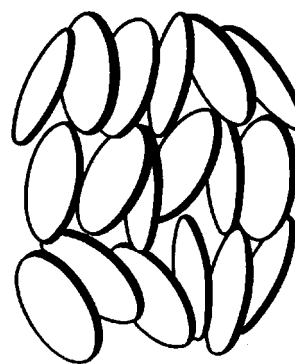


Рис. 6

нение положения ближайших соседей,  $\Delta s$  — полуширина максимума  $Z(s)$ ; радиус взаимодействия  $x_m = d/(2,5\Delta/d)^{1/2} = (2\pi^3/6,25)(1/\Delta s)$ .

Рассчитанные значения характеристик для растворов Р3 — Р6 приведены в табл. 2. Из приведенных данных следует, что только в концентрированном растворе Р6 радиус взаимодействия  $x_m$  заметно превышает среднее расстояние между центрами частиц  $d$  или  $d_n$ . В более разбавленных растворах  $x_m \sim d_n$ . Таким образом, только в Р6 рассеяние начинает приобретать черты, характерные для «жидкостного» упорядочения. В остальных растворах характер рассеяния ближе к «газовому». Согласно работе [8], граница перехода жидкость — газ определяется условием  $\Delta/d > (0,22—0,25)$ . Для Р6  $\Delta/d = 0,29$ , что близко к граничному условию.

Рассмотрим теперь вопрос о природе рассеивающих частиц в исследуемых растворах. На рис. 1 дана кривая рассеяния монолитной пленки ПСИ, на которой отчетливо регистрируются два интерференционных максимума. Аналогичная ситуация имеет место и в концентрированном растворе Р6. Ранее в работах [3—5] было показано, что возникновение максимума при больших значениях  $s$  в пленке обусловлено агрегацией макромолекул ПСИ с образованием кластеров ионообменных групп. Положение этого максимума в пленке зависит от степени набухания мембранны в растворителе и смещается в меньшие значения  $s$  по мере увеличения набухания. Логично предположить, что максимум при больших  $s$  на кривых рассеяния растворов является трансформированным «кластерным» максимумом. Показано также [3—5], что кластеры ионообменных групп в пленке построены по типу бислойной упаковки макромолекул ЖК-гребнеобразных полимеров. Толщина бислоя складывается из двух диаметров макромолекул основной цепи ПТФЭ ( $10 \text{ \AA}$ ) и длин двух боковых ответвлений ( $20 \text{ \AA}$ ), что составляет величину  $\sim 30 \text{ \AA}$ .

Выше было установлено, что в исследуемых разбавленных растворах частица имеет форму тонкой призмы (диска) толщиной также около  $30 \text{ \AA}$ . Поскольку используемый растворитель (ДМФА) является сильно

Таблица 2

#### Структурные характеристики рассеивающих систем

Образец	$c, \text{ob.}\%$	$s_m, \text{\AA}^{-1}$	$\Delta s, \text{\AA}^{-1}$	$d, \text{\AA}$	$d_n, \text{\AA}$	$\Delta/d$	$x_m, \text{\AA}$	$L, \text{\AA}$
P3	3	0.0415	0.068	151	185	0,41	147	450
P4	6	0.049	0.074	128	156	0,39	135	450
P5	9	0.064	0.085	98	120	0,37	117	330
P6	18	0,098	0,080	64	78	0,29	127	200

полярным, с учетом сказанного выше предположение о том, что рассеивающими частицами в растворах являются бислои, сердцевина которых образована неполярными макромолекулами ПТФЭ, а оболочка построена боковыми ответвлениями с ионообменными группами на конце, контактирующими с растворителями, кажется достаточно обоснованным. При этом наблюдаемые интерференционные эффекты в растворах могут быть объяснены взаимным упорядочением взаимодействующих между собой сильно анизометричных бислоев.

Максимум в области малых значений  $s$  для пленки был отнесен [3–5] к аморфно-кристаллическому рефлексу, так как в процессе односторонней ориентации пленки этот рефлекс располагался на меридиане рентгенограммы, как в большинстве аморфно-кристаллических полимеров. Ясно, что в случае растворов говорить о каком-либо рассеянии на периодической аморфно-кристаллической структуре не имеет смысла.

Предполагая непрерывность трансформации структуры при переходе от пленки к растворам, что можно сделать ввиду низких значений степени кристалличности ( $<10\%$ ), максимум при малых  $s$  в пленке и растворах логично отнести к рассеянию на «сборках» частиц, т. е. надмолекулярных образованиях большего размера, чем сами частицы — бислои.

Продолжая аналогию с агрегацией макромолекул типичных ЖК-полимеров в растворах [9], можно допустить, что такими сборками являются слоевые образования, подобные слоям смектической структуры в ЖК-полимерах. В этом случае можно легко объяснить меридиональное расположение обсуждаемого рефлекса в одноосно-ориентированной пленке, а также наблюдавшееся явление гелеобразования и тиксотронию в концентрированных растворах ПСИ. Смектические слои в растворах ПСИ должны иметь плохую взаимную упорядоченность, так как регистрируемая интенсивность соответствующего малоуглового рефлекса мала. Средние значения расстояний  $L$  между центрами соседних слоев, рассчитанные из экспериментальных кривых для паракристаллической модели, даны в табл. 2. Схематическое изображение структурной организации в растворе ПСИ, выполненное с учетом всего комплекса экспериментальных данных, показано на рис. 6.

Таким образом, растворы ПСИ в ДМФА являются высокодисперсными коллоидными растворами полимерных частиц — бислоев (или при низких концентрациях с возможным переходом в гели при концентрировании), которые характеризуются общими особенностями присущими растворам типичных ЖК-гребнеобразных полимеров, но с более низкой степенью структурного упорядочения.

#### СПИСОК ЛИТЕРАТУРЫ

1. Ise N. // Makromolek. Chem. Suppl. 1985. B. 12. S. 215.
2. Glatter O., Kratky O. Small-angle X-ray Scattering. L., 1982. 515 p.
3. Озерин А. Н., Ребров А. В., Якунин А. Н., Боговцева Л. П., Тимашев С. Ф., Бакеев Н. Ф. // Высокомолек. соед. А. 1986. Т. 28. № 2. С. 254.
4. Озерин А. Н., Ребров А. В., Якунин А. Н., Бессонова Н. П., Дрейман Н. А., Соколов Л. Ф., Бакеев Н. Ф. // Высокомолек. соед. А. 1986. Т. 28. № 11. С. 2303.
5. Ребров А. В., Озерин А. Н., Якунин А. Н., Дрейман Н. А., Тимофеев С. В., Попков Ю. М., Бакеев Н. Ф. // Высокомолек. соед. А. 1987. Т. 29. № 7. С. 1453.
6. Свергун Д. И., Фейгин Л. А. Рентгеновское и нейтронное малоугловое рассеяние. М., 1986. 280 с.
7. Debye P., Anderson H. R., Brumberger H. // J. Appl. Phys. 1957. V. 28. № 6. P. 679.
8. Вайнштейн Б. К. Дифракция рентгеновых лучей на цепных молекулах. М., 1963. 372 с.
9. Платз Н. А., Шибаев В. П. Гребнеобразные полимеры и жидкие кристаллы. М., 1980. 304 с.

Научно-исследовательский  
физико-химический институт  
им. Л. Я. Карпова

Институт кристаллографии  
АН СССР

Поступила в редакцию  
03.05.89

**A. V. Rebrov, A. N. Ozerin, D. I. Svergun, L. P. Bohrova,  
N. F. Bakeev**

**STUDY OF AGGREGATION OF MACROMOLECULES  
OF PERFLUOROSULFINATED IONOMER IN SOLUTION  
BY THE SMALL-ANGLE X-RAY SCATTERING METHOD**

**S u m m a r y**

Aggregation of macromolecules of perfluorosulfinated ionomer in the course of the transition from dilute solutions in DMFA to films casted onto the surface has been studied by the small-angle X-ray scattering method. Solutions under study are the high-dispersed colloidal solutions of polymer particles – plane bilayers. Their geometrical dimensions are calculated. The statistics is analysed and the structural scheme of mutual ordering of particles in solution is presented.